



## دستگاه بزرگ مقیاس ارزیابی پتانسیل رمبندگی خاک با امکان شبیه‌سازی نوع نشت آب

جواد محمودی، رضا پورحسینی\*

دانشکده مهندسی عمران، دانشگاه یزد، یزد، ایران

## تاریخچه داوری:

دریافت: ۱۴۰۱/۰۴/۰۶

بازنگری: ۱۴۰۱/۰۶/۰۶

پذیرش: ۱۴۰۱/۰۸/۰۱

ارائه آنلاین: ۱۴۰۱/۰۸/۱۱

## کلمات کلیدی:

خاک رمبند

پتانسیل رمبندگی

نشت آب

دستگاه بزرگ مقیاس

شبیه‌سازی

**خلاصه:** خاک رمبند به عنوان یک نمونه از خاک‌های مسئله‌دار می‌تواند در بسیاری از سازه‌ها مشکل ایجاد کند. خاک رمبند بدون حضور آب، پایدار است، اما پس از ورود آب به این خاک، دچار نشت‌های قابل توجه و ناگهانی می‌شود. مهم‌ترین موضوع در برخورد با این خاک‌ها پیش‌بینی میزان نشت آن‌ها است. تا به امروز آزمایش‌های مختلفی به صورت آزمایشگاهی یا درجا برای تعیین پتانسیل رمبندگی طراحی شده است که متدالوی ترین آن‌ها آزمایش ادئومتر است. مهم‌ترین نقص آزمایش‌های موجود عدم امکان شبیه‌سازی نوع نشت آب در خاک است. در این مطالعه دستگاهی با قالب به قطر ۱۴ cm و ارتفاع ۱۰ cm طراحی و ساخته شد که دارای امکان شبیه‌سازی نوع نشت آب است. در این مطالعه دستگاهی با قالب به قطر ۱۴ cm و ارتفاع ۱۰ cm طراحی و ساخته شد که دارای امکان نشت آب را بر اساس منشاء ورود آب، میزان پتانسیل رمبندگی را اندازه‌گیری نماید. این دستگاه الگوهای نشت آب را با این دستگاه می‌توان ارزیابی کرد. نتایج آزمایشگاهی این دستگاه بر روی یک خاک رمبند نمونه نشان می‌دهد که پتانسیل رمبندگی تقسیم‌بندی و شبیه‌سازی می‌کند. نتایج آزمایشگاهی این دستگاه برای تمام الگوهای نشت آب استفاده کرد. بر اساس نتایج آزمایشگاهی بیشترین پتانسیل رمبندگی مربوط به الگوی نشت آب از بالا به پایین و به صورت گستره و کمترین آن مربوط به الگو نشت آب از پایین به بالا و به صورت نقطه‌ای است.

## ۱- مقدمه

در صد ریزدانه، فشار وارد شده و کیفیت دانه‌بندی خاک می‌شود [۷-۱۲].

می‌توان گفت که خاک‌های رمبند، خاکی هستند که در وضعیت خشک در حالت پایداری قرار دارند اما حساس به تغییر حجم قابل توجه هستند که این تغییر حجم می‌تواند با خیس شدن به تنها یا یا خیس شدن همراه با بارهای استاتیکی و دینامیکی در زمان اشباع شدن یا نزدیک به اشباع به وجود آید. اگرچه در حالت کلی مطالعات مرتبط با خاک‌های رمبند به بارهای استاتیکی محدود می‌گردد و نشت‌های به وجود آمده در اثر بارهای دینامیکی در قالب پدیده روانگرایی مورد مطالعه قرار می‌گیرد [۱۳]. تا به امروز مطالعات زیادی بر روی مکانیزم رمبندگی صورت گرفته است که لی<sup>۱</sup> و همکارانش ۲۰۱۶ در یک مقاله مروری این مطالعات را به سه دسته روش‌های سنتی، روش‌های میکروسکوپی و روش‌های مبتنی بر مکانیک خاک تقسیم‌بندی کردند [۱۴].

خاک‌های رمبند فقط به ساختمان‌های قرار گرفته بر روی خاک رمبند خسارت وارد نمی‌کنند بلکه بخش زیادی از خسارت این خاک‌ها به روسازی

خاک رمبند بیش از ۸۰ سال است که به طور گستره به عنوان یک مسئله مهم در زمینه ژئوتکنیک مورد مطالعه قرار گرفته است. همانطور که از اسم آن‌ها مشخص است، این خاک‌ها می‌توانند در اثر خیس شدن (همراه با افزایش سریار یا بدون افزایش سریار) کاهش حجم چشم‌گیری از خود نشان دهند و مخاطراتی را برای پروژه‌های ژئوتکنیکی به وجود آورند. خاک‌های رمبند در بسیاری از نقاط دنیا از جمله مرکز و جنوب ایالات متحده، چین، هندوستان، خاورمیانه، روسیه، جنوب آمریکا و آفریقا جنوبی یافت می‌شوند [۱-۳].

از ویژگی‌های شاخص این خاک‌ها، وزن مخصوص کم، ساختار باز، پوکی بالا، نهشته جوان، درصد رطوبت کم و پیوند ضعیف بین ذرات است [۴-۶].

میزان نشت خاک رمبند وابسته به پارامترهای مختلفی است مهم‌ترین این پارامترها شامل درصد رطوبت، وزن مخصوص خشک اولیه، درجه تراکم،

\* نویسنده عهددار مکاتبات: r\_porhoseini@yazd.ac.ir

حقوق مؤلفین به نویسنده‌گان و حقوق ناشر به انتشارات دانشگاه امیرکبیر داده شده است. این مقاله تحت لیسانس آفرینشگاری مردمی (Creative Commons License) در دسترس شما قرار گرفته است. برای جزئیات این لیسانس، از آدرس <https://www.creativecommons.org/licenses/by-nc/4.0/legalcode> دیدن فرمائید.





شکل ۱. نحوه مدل‌سازی آبیاری قطره‌ای

Fig. 1. How to model drip irrigation

واندانپو<sup>۲</sup> و همکارانش ۲۰۱۷ نشست به وجود آمده در خاک رمبنده در اثر آبیاری قطره‌ای را مورد بررسی قرار دادند. آن‌ها در مطالعه خود از یک مدل آزمایشگاهی استفاده نمودند که در یک مخزن مکعبی شکل با ابعاد ۱۰۰ mm × ۲۰۰ mm (زیر صفحه بارگذاری) مدل‌سازی گردید. مطابق شکل ۱ از یک سری لوله جهت مدل‌سازی آبیاری قطره‌ای استفاده شده و پس از آن که سربار به میزان مشخص رسید آب از سطح خاک با سیکل زمانی ۳۰ دقیقه در هر ۱۲ ساعت وارد خاک می‌شود و میزان نشست به وجود آمده در سطح خاک در زمان‌های مختلف ثبت می‌شود. در این مطالعه میزان نشست و مدت زمان مورد نیاز برای رمبندگی کامل برای هر سه مدل اندازه‌گیری گردید که بر اساس این نتایج بیشترین نشست برای مدل با سطح آب زیر زمینی ۳۰۰ mm گردید. در این مدل سطح بارگذاری و بیشترین زمان برای اتمام رمبندگی مربوط به مدل با سطح آب زیر زمینی ۵۰۰ mm گردید [۱۸].

مشحور<sup>۳</sup> و همکارانش ۲۰۱۹ با استفاده از یک مدل آزمایشگاهی تاثیر سرعت اشباع شدن را بر روی میزان نیروی درگ ایجاد شده در شمع‌های قرار گرفته در خاک‌های رمبنده را مورد بررسی قرار دادند. وقتی خاک رمبنده

جاده‌های قرار گرفته بر روی این نوع خاک مسئله‌دار گزارش گردیده است. این خاک‌ها می‌توانند مشکلات زیادی برای پایداری شیروانی‌ها، تونل‌های زیرزمینی، لوله‌های زیرزمینی و ... ایجاد نمایند.

ساخت و ساز ساختمان‌ها بر روی خاک‌های رمبنده، که به طور معمول در نقاط خشک و نیمه خشک قرار دارند نیازمند پایدارسازی یا بهسازی این خاک‌ها است [۱۵].

آب می‌تواند از منابع مختلفی مانند بارندگی شدید و مداوم، آبیاری بیش از حد، نشت و شکست لوله‌های انتقال آب و فاضلاب و بالا آمدن سطح آب زیر زمینی وارد خاک رمبنده شود [۱۶]، اما متأسفانه تا به امروز مطالعات کمی بر روی تاثیر نوع نشت آب بر روی خاک رمبنده انجام گرفته است.

الاواجی<sup>۱</sup> ۲۰۰۸ تغییر شکل لوله‌های مدفون ناشی از نشت آب از این لوله‌ها را مورد بررسی قرار داد. در این مطالعه از نرمافزار اجزا محدود غیرخطی Z-soil جهت شبیه‌سازی نشت آب در لوله‌های مدفون استفاده گردید. در این مدل‌سازی ناحیه اشباع شده در اثر نشت آب از لوله‌های مدفون تخمین زده شده است. مطالعات با افزایش عمق اشباع شدگی از ۰ تا ۷۰ سانتی‌متر زیر سطح لوله انجام گردیده است. نتایج این تحقیق نشان می‌دهد که با افزایش عمق اشباع شدگی در اثر نشت آب میزان نشست و تغییر شکل لوله‌های مدفون افزایش می‌یابد [۱۷].

۲ VandanaPapu

۳ Mashhour

۱ Alawaji

## ۱-۱- روش‌های آزمایشگاهی

عموماً نتایج آزمایش‌های ادئومتر برای آنالیزهای یک بعدی و آزمایش‌های سه محوری برای آنالیزهای سه بعدی استفاده می‌گردد. Lawton<sup>۱</sup> ۱۹۸۹ نشان داد که اطلاعات اضافی که از آزمایش سه محوری به دست می‌آید نسبت به آزمایش ادئومتر کم است، به همین دلیل آزمایش ادئومتر متداول‌تر است [۲۱].

دو نوع آزمایش ادئومتر برای تعیین پتانسیل رمبندگی مورد استفاده قرار می‌گیرد: آزمایش ادئومتر تک<sup>۲</sup> و آزمایش ادئومتر دوگانه<sup>۳</sup>. آزمایش ادئومتر تک بر اساس روش خیس کردن بعد از بارگذاری انجام می‌گیرد، تنش سربار به صورت تدریجی اعمال می‌گردد و زمانی که کرنش ثابت شد نمونه تحت تنش اعمال شده غرقاب می‌گردد.

قاعده آزمایش ادئومتر دوگانه بر این اساس است که تغییر شکل‌های به وجود آمده در اثر خیس شدن مستقل از مسیر بارگذاری-خیس شدن خواهد بود. این آزمایش با استفاده از دو نمونه یکسان انجام می‌گردد، یکی به روش آزمایش ادئومتر معمول در درصد رطوبت طبیعی انجام می‌گردد و نمونه دیگر پس از غرقاب شدن مورد بارگذاری قرار می‌گیرد. شکل ۲ نتایج یک آزمایش ادئومتر دوگانه را نشان می‌دهد.

Ayadat<sup>۴</sup> و همکارانش ۲۰۰۷ از دستگاه نفوذ مخروط که معمولاً برای اندازه‌گیری حد خمیری و حد روانی استفاده می‌شود، جهت اندازه‌گیری پتانسیل رمبندگی استفاده کردند. آن‌ها یک سری آزمایش با استفاده از دو دستگاه نفوذ مخروط و ادئومتر طراحی کردند و با استفاده از نتایج آن‌ها یک درونیابی بین پتانسیل رمبندگی و میزان نفوذ مخروط انجام دادند. با استفاده از رابطه به دست آمده می‌توان با انجام آزمایش نفوذ مخروط میزان پتانسیل رمبندگی در خاک را پیش‌بینی نمود [۲۳].

روش اندازه‌گیری پتانسیل رمبندگی خاک‌ها را با استفاده از آزمایش ادئومتر تک تشریح می‌کند. این استاندارد ابتدا پتانسیل رمبندگی<sup>۵</sup> (IC) را معرفی می‌کند که برابر با میزان رمبندگی خاک است که در هر سطح تنشی می‌تواند با استفاده از معادله (۲) محاسبه گردد.

$$I_c = \left[ \frac{d_f - d_i}{h_0} \right] 100 \quad (2)$$

اشباع می‌شود و نشستهای ناگهانی و بزرگی را تجربه می‌کند باعث ایجاد نیروی اصطکاک جداره منفی در طول شمع می‌شود، این اصطکاک جداره منفی باعث به وجود آمدن نیروی درگ قابل توجهی در شمع می‌گردد. در این مطالعه آب از پایین لایه خاک رمبنده به صورت گسترش وارد خاک می‌شود و به سمت بالا حرکت می‌کند تا کاملاً اشباع شود. زمان اشباع شدن خاک با سه مقدار ۳۰، ۶۰ و ۹۰ دقیقه به صورت متغیر در نظر گرفته شد. نتایج نشان می‌دهد که با افزایش زمان اشباع شدن خاک، نیروی درگ به وجود آمده در شمع کاهش می‌یابد [۱۹].

در این مطالعه طراحی و ساخت دستگاهی با امکان شبیه‌سازی انواع نشت آب در خاک رمبنده ارائه گردیده و اثر جهت حرکت آب (از بالا یا از پایین) و نحوه نشت ( نقطه‌ای یا گسترده) بر روی پتانسیل رمبندگی با استفاده از این دستگاه مورد بررسی قرار گرفته است. پتانسیل رمبندگی به دست آمده از این دستگاه برای الگوهای مختلف نشت آب با نتایج دستگاه ادئومتر متداول مقایسه گردید.

## ۲- ارزیابی پتانسیل رمبندگی

پتانسیل رمبندگی یک شاخص از میزان تغییر حجم کل یک خاک است که در اثر بارگذاری و خیس شدن از خود نشان می‌دهد. در نشست یک بعدی، پتانسیل رمبندگی با استفاده از تغییر ضخامت نمونه پس از خیس شدن و اعمال بار محاسبه می‌گردد. معادله (۱) یک تعریف مهندسی از پتانسیل رمبندگی با استفاده از تغییرات نسبت تخلخل را نشان می‌دهد [۲۰].

$$C_p = \frac{\Delta e}{1 + e_0} \times 100 = \frac{\Delta h}{h_0} \times 100 \quad (1)$$

که در آن  $C_p$  پتانسیل رمبندگی،  $\Delta e$  تغییر نسبت تخلخل ناشی از خیس شدن،  $e_0$  نسبت تخلخل اولیه،  $\Delta h$  تغییر ارتفاع نمونه ناشی از خیس شدن و  $h_0$  ارتفاع اولیه نمونه است.

روش‌های زیادی برای اندازه‌گیری پتانسیل رمبندگی خاک‌ها وجود دارد که شامل روش‌های آزمایشگاهی و صحرابی می‌گردد. معمول‌ترین روش‌های آزمایشگاهی استفاده از آزمایش ادئومتر و آزمایش سه محوری است. مهم‌ترین مزیت روش‌های آزمایشگاهی کنترل سه پارامتر مهم (درجه اشباع، وزن مخصوص خشک و تنش اعمالی) است که می‌توانند بر پتانسیل رمبندگی تأثیر بگذارند [۸].

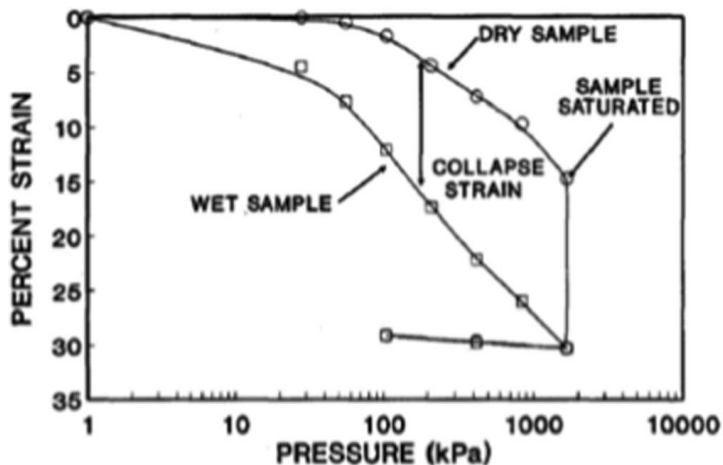
1 Lawton

2 Single-oedometer

3 Double-oedometer

4 Ayadat

5 Collapse potential



شکل ۲. نتیجه یک آزمایش ادئومتر دوبل [۲۲]

Fig. 2. Result of a double oedometer test

جدول ۱. طبقه‌بندی شاخص رمبندگی [۲۴]

Table 1. Classification of Collapse Index

درجه رمبندگی	شاخص رمبندگی
ندارد	•
اندک	۲-۰/۱
متوسط	۶-۲/۱
تا حدی شدید	۱۰-۶/۱
شدید	>۱۰

آزمایش رمبندگی درجا را با استفاده از باکس‌های خاک قرار گرفته بر روی یک سطح بتنی را مطابق شکل ۳ پیشنهاد دادند. باکس‌های خاک بر روی پی ساخته شده جهت تامین فشار اعمالی مورد نظر قرار می‌گیرند و بعد از آن که فشار مورد نظر اعمال گردید، آب جهت افزایش رطوبت خاک زیر پی به گودال اضافه می‌گردد [۲۵]. این آزمایش فقط ارزیابی پتانسیل رمبندگی خاک‌های سطحی را تامین می‌کند.

که در آن  $I_c$  پتانسیل رمبندگی،  $df$  قرائت گیج بعد از خیس شدن،  $di$  قرائت گیج قبل از خیس شدن و  $h_0$  ارتفاع اولیه نمونه است. این استاندارد در ادامه شاخص رمبندگی ( $Ie$ ) را معرفی می‌کند که میزان پتانسیل رمبندگی در تنش اعمالی مرجع  $200 \text{ kPa}$  را نشان می‌دهد که بر اساس مقادیر شاخص رمبندگی، درجه رمبندگی نمونه می‌تواند مطابق جدول ۱ طبقه‌بندی گردد [۲۴].

### ۳- طرح دستگاه با قابلیت شبیه‌سازی نوع نشت آب

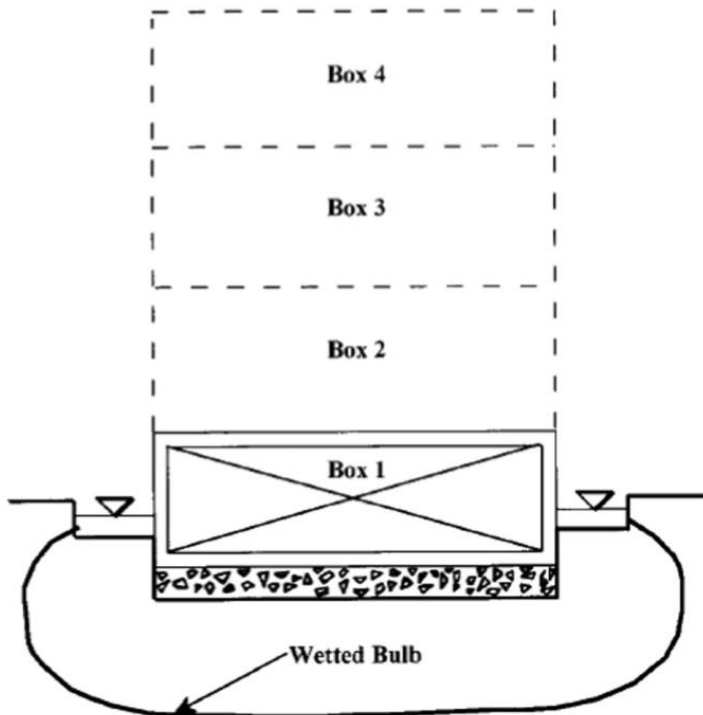
متاسفانه تا به امروز تحقیقات اندکی بر روی تاثیر نوع اشباع شدن خاک بر روی خاک‌های رمبند انجام گرفته است. به طور کلی نشت آب را می‌توان به چهار دسته تقسیم نمود: (الف) منابعی که به صورت گسترشده و از پایین

### ۲- روش‌های صحراي

پتانسیل رمبندگی می‌تواند با مقادیر  $N$  آزمایش SPT و مقاومت نوک آزمایش CPT مرتبط گردد. علاوه بر این محمود<sup>۱</sup> و همکارانش ۱۹۹۵ یک

1 Collapse index

2 Mahmoud



[۲۵] شکل ۳. آزمایش رمبندگی درجا

Fig. 3. In-situ collapse potential test

### ۳-۱- سیستم بارگذاری

در این دستگاه برای بارگذاری نمونه و اعمال تنش‌های مورد نظر بر روی سطح نمونه از یک سیستم بارگذاری اهرمی استفاده گردید که نیرو را ۴/۵ برابر می‌کند. در انتهای سمت چپ تیر یک محفظه قرار داده شده تا وزنهای اعمال نیرو روی آن قرار گیرند و در انتهای سمت راست تیر یک وزنه تعادلی قرار داده می‌شود. تیر متحرک به وسیله لولا به یک تکیه‌گاه کاملاً صلب متصل شده است.

در سمت چپ تکیه‌گاه، تیر به دو قسمت با نسبت ۱ به ۳/۵ تقسیم شده است و مطابق با شکل ۵ در وسط این دو قسمت یک صفحه فلزی جوش داده شده است تا بتواند نیرو را به وسیله دو پیچ عمودی بر روی نمونه انتقال دهد. با استفاده از این دو پیچ می‌توان محل اعمال نیرو را به صورت عمودی جایجا نمود. انتهای پیچ‌ها به یک صفحه دیگر به موازات صفحه بالا متصل می‌شود. در وسط صفحه پایین یک پیچ دیگر تعبیه شده است که به صورت عمودی تنظیم و جایجا می‌شود و نیرو را به صفحه بارگذاری قرار گرفته

به بالا باعث اشباع خاک می‌گرددند مانند بالا آمدن سطح آب زیرزمینی (ب) منابعی که به صورت گسترشده و از بالا به پایین باعث اشباع خاک می‌گرددند مانند جاری شدن سیل (ج) منابعی که به صورت نقطه‌ای از پایین به بالا باعث اشباع شدن یک ناحیه خاص از خاک رمبند می‌گرددند مانند نشت از لوله‌های مدفون (د) منابعی که به صورت نقطه‌ای از بالا به پایین باعث اشباع شدن یک ناحیه خاص از خاک رمبند می‌گرددند مانند نشت لوله‌های سطحی.

در آزمایش‌های موجود آب به صورت یک دفعه از بالا و پایین و به صورت گسترشده وارد نمونه خاک می‌شود که این نوع اشباع شدگی نمی‌تواند مدل مناسبی برای تحلیل انواع شرایط اشباع شدن خاک در واقعیت باشد. با توجه به محدودیت دستگاه‌های موجود طرحی تهیی شد که دارای قابلیت شبیه‌سازی انواع نشت آب در خاک است. مطابق با شکل ۴ دستگاه ساخته شده از سه قسمت، شامل سیستم بارگذاری، سلول نمونه و سیستم اندازه‌گیری و ثبت جایه‌جایی‌ها تشکیل می‌شود. در ادامه هر کدام از این قسمت‌ها شرح داده شده است.



شکل ۴. اجزای دستگاه ارزیابی پتانسیل رمبندگی با قابلیت مدل‌سازی نوع نشت آب

Fig. 4. Collapse potential measurement apparatus with the ability to simulate the patterns of water infiltration



شکل ۵. نحوه انتقال نیرو به صفحه بارگذاری روی نمونه

Fig. 5. How to transfer force to the loading plate on the sample



شکل ۶. سلول‌ها

Fig. 6. Cells

یا افزایش پیدا کند. برای اطمینان از صلیبت سلول‌ها استفاده شده، هر کدام از سلول به صورت جداگانه مورد بارگذاری قرار گرفتند و تغییرات قطر سلول‌ها توسط یک جابه‌جایی‌سنجد طی مراحل بارگذاری اندازه‌گیری شد. در هر دو سلول مقدار تغییر قطر سلول‌ها بسیار ناچیز و نزدیک به صفر بود که می‌توان نتیجه گرفت که تغییر حجم به وجود آمده در نمونه‌ها فقط ناشی از تغییر ارتفاع نمونه‌هاست و در طی بارگذاری سطح مقطع نمونه‌ها ثابت است.

### ۳-۳- سیستم اندازه‌گیری و ثبت جابجایی‌ها

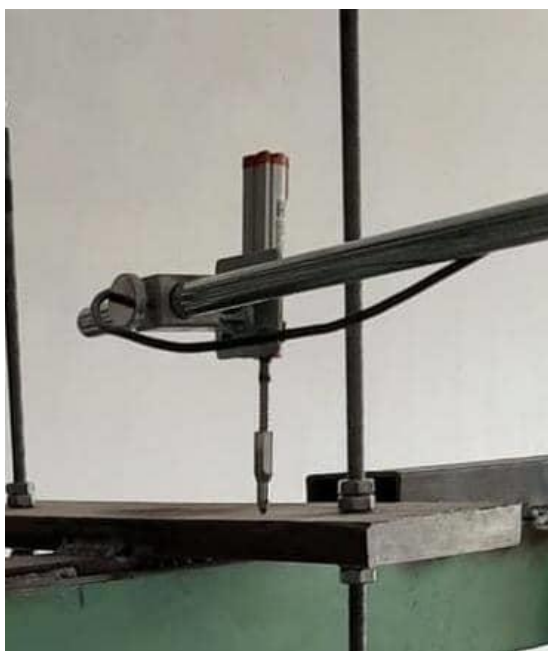
برای اندازه‌گیری نشست‌ها در هر مرحله از بارگذاری و پس از اشباع کردن نمونه مطابق با شکل ۷ از یک جابه‌جایی‌سنجد (LVDT)، دیتالاگر و کامپیوتر استفاده شد. جابه‌جایی‌سنجد بر روی صفحه انتقال دهنده نیرو به نمونه قرار می‌گیرد و با دقیق  $0.01 \text{ mm}$  مقدار نشست‌ها را اندازه‌گیری می‌کند. مقادیر اندازه‌گیری شده در حافظه ذخیره می‌گردند.

بر روی نمونه انتقال می‌دهد. پایین این پیچ و بالای صفحه بارگذاری نیم کره‌های محدب و مقعر طراحی شده است.

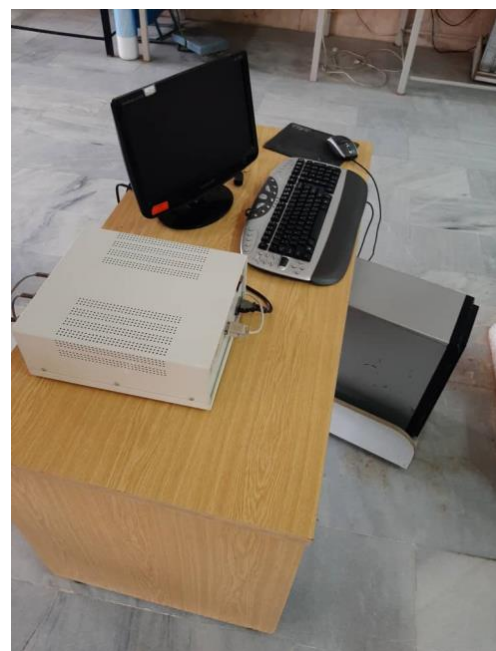
مطابق با شکل ۳، در انتهای تیر، قبل از محل قرارگیری وزنه‌ها، یک تکیه‌گاه موقت تعییه شده است که دارای دو پیچ متحرک است و باعث می‌شود که اعمال بار ماهیت دینامیکی پیدا نکند.

### ۳-۲- سلول نمونه

برای اینکه روش‌های مختلف نشت آب در خاک قابلیت مدل‌سازی داشته باشند ابعاد سلول نسبت به دستگاه ادئومتر افزایش پیدا کرد و از نمونه‌ها با قطر  $14 \text{ cm}$  و ارتفاع  $10 \text{ cm}$  در این دستگاه استفاده شد تا تاثیر الگوهای نشت آب در خاک قبل بررسی باشند. مطابق با شکل ۶ برای قرار دادن نمونه در دستگاه از یک سلول فلزی با قطر داخلی  $14 \text{ cm}$  و ارتفاع  $12 \text{ cm}$  برای مدل‌سازی اشباع از بالا به سمت پایین و از یک سلول پلکسی گلس با قطر داخلی  $14 \text{ cm}$  و ارتفاع  $20 \text{ cm}$  برای مدل‌سازی اشباع از پایین به سمت بالا استفاده شد. با توجه به ابعاد سلول‌ها، ارتفاع نمونه می‌تواند کاهش



ب



الف

شکل ۷-الف. دیتالاگر و کامپیوتر ب. جابه‌جایی سنج (LVDT)

Fig. 7-a. Data logger and computer b. displacement gauge (LVDT)

است. مطابق با شکل ۹ آب از بالا وارد این قطعه می‌شود و از طریق چهار سوراخ تعبیه شده بر روی صفحه میانی، آب وارد پایین قطعه و از طریق سوراخ ایجاد شده در مرکز صفحه دایره‌ای شکل زیر قطعه وارد نمونه خاک می‌شود. برای اینکه حد آب ثابت باشد به فاصله ۷ سانتی‌متر از کف استوانه، یک سوراخ ایجاد شده تا آب اضافی از داخل استوانه خارج شود.

۴-۲- اشباع از بالا به سمت پایین و به صورت گستردۀ برای مدل‌سازی این نوع اشباع شدگی از ابزار و قطعات قسمت قبل استفاده می‌شود با این تفاوت که مطابق با شکل ۱۰ در این قسمت به جای صفحه با یک سوراخ از صفحه‌ای با پنج سوراخ با قطر ۱ cm از استفاده می‌شود. افزایش تعداد سوراخ‌ها باعث می‌شود که کل سطح خاک از بالا خیس شود و آب به قسمت پایین نمونه انتقال یابد.

۴-۳- اشباع از پایین به سمت بالا و به صورت نقطه‌ای این نوع از اشباع شدن زمانی اتفاق می‌افتد که آب از یک نقطه خاص در پایین لایه خاک رمینده نشت کند و به سمت بالا حرکت کند و باعث اشباع شدن این لایه خاک شود. از این اشباع شدگی می‌توان به نشت لوله‌های مدفون اشاره نمود.

#### ۴- مدل‌سازی الگوهای مختلف نشت آب

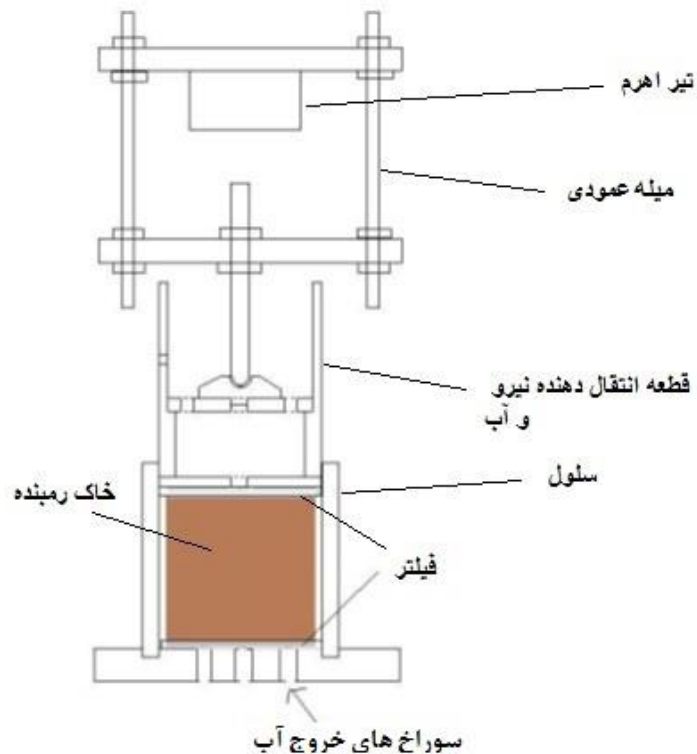
هدف از طرح این دستگاه مدل‌سازی چهار الگوی نشت آب به داخل خاک رمینده است تا بتوان میزان و سرعت نشست‌ها را برای هر الگو نشت آب در خاک اندازه‌گیری کرد. در ادامه نحوه مدل‌سازی آزمایشگاهی می‌آید.

##### ۴-۱- اشباع از بالا به سمت پایین و به صورت نقطه‌ای

این نوع اشباع شدگی در طبیعت زیاد اتفاق می‌افتد که به عنوان مثال می‌توان به نشت لوله‌های سطحی، نشت فاضلاب شهری و آبیاری کشاورزی اشاره کرد.

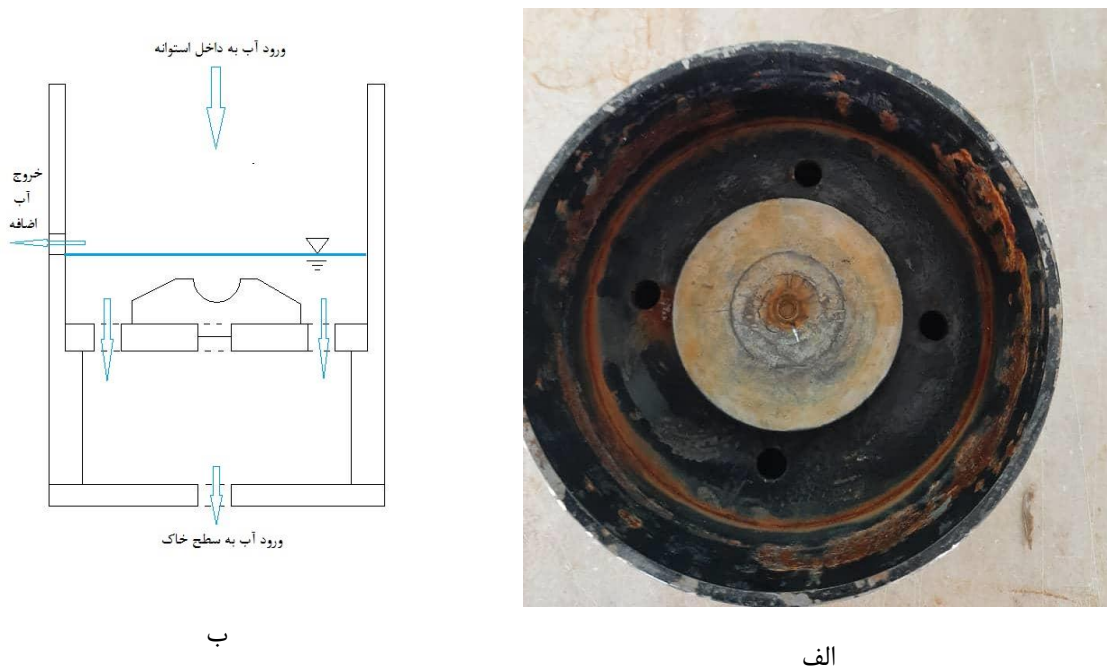
در مدل‌سازی این نوع نشت آب، ابتدا نمونه بر اساس دست خورده یا دست نخورده بودن داخل سلول قرار می‌گیرد و پس از آماده‌سازی یک قطعه از قبل آماده شده روی سطح خاک قرار می‌گیرد این قطعه به گونه‌ای است که هم بار را بر روی سطح خاک انتقال دهد و هم اجازه دهد که آب از یک نقطه وارد خاک شود. این قطعه به صورت استوانه است و مطابق شکل ۸ بار بر روی این قطعه انتقال داده می‌شود و توسط قسمت مقعر شکل و صفحه زیر آن به جدار خارجی قطعه منتقل می‌شود و بعد توسط صفحه زیر این قطعه به سطح خاک انتقال می‌یابد.

هدف دوم این قطعه انتقال آب به نقطه مرکز سطح بالای نمونه خاک



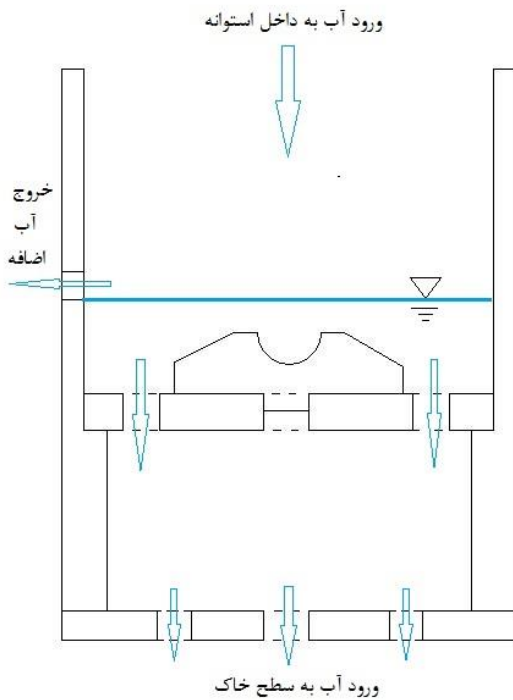
شکل ۸. نحوه انتقال نیرو به سطح خاک

Fig. 8. How to transfer force to soil surface



شکل ۹-الف. قطعه انتقال دهنده نیرو و آب ب. نحوه انتقال آب

Fig.9-a. Force and water transmission piece b) How to transfer water



شکل ۱۰. نحوه انتقال آب در اشباع شدگی به روشن از بالا به پایین و به صورت گستردگی

Fig. 10. How to transfer water in top-expanding water infiltration pattern

مدل‌سازی این نوع اشباع شدگی مانند اشباع شدگی از پایین به سمت بالا و به صورت نقطه‌ای است با این تفاوت که صفحه اتصال دهنده استوانه پایین و سلول تغییر می‌کند و مطابق شکل ۱۲ از یک صفحه جدید با ۵ سوراخ استفاده شد. افزایش تعداد سوراخ‌ها باعث می‌شود که کل سطح خاک از پایین خیس شود و به سمت بالا حرکت کند.

##### ۵- بررسی نتایج دستگاه

در مطالعات آزمایشگاهی از یک نمونه خاک رمبند ساخته شده در آزمایشگاه استفاده گردید. مطابق با مطالعات هانا<sup>۱</sup> و سلیمان<sup>۲</sup> [۲۶] می‌توان با ترکیب ماسه ریزدانه و رس کائوین و اضافه کردن مقداری رطوبت یک خاک رمبند ساخت. با استفاده از نسبت‌های مختلف رس به ماسه و وزن مخصوص‌های متفاوت (انرژی تراکم متفاوت) می‌توان نمونه‌های با پتانسیل رمبندگی مختلف ساخت.

راجرس ۱۹۹۴ خاک‌های رمبند را از نظر نحوه تشکیل شدن به دو دسته طبیعی و مترکم تقسیم‌بندی نمود [۴]. که خاک‌های طبیعی توسط

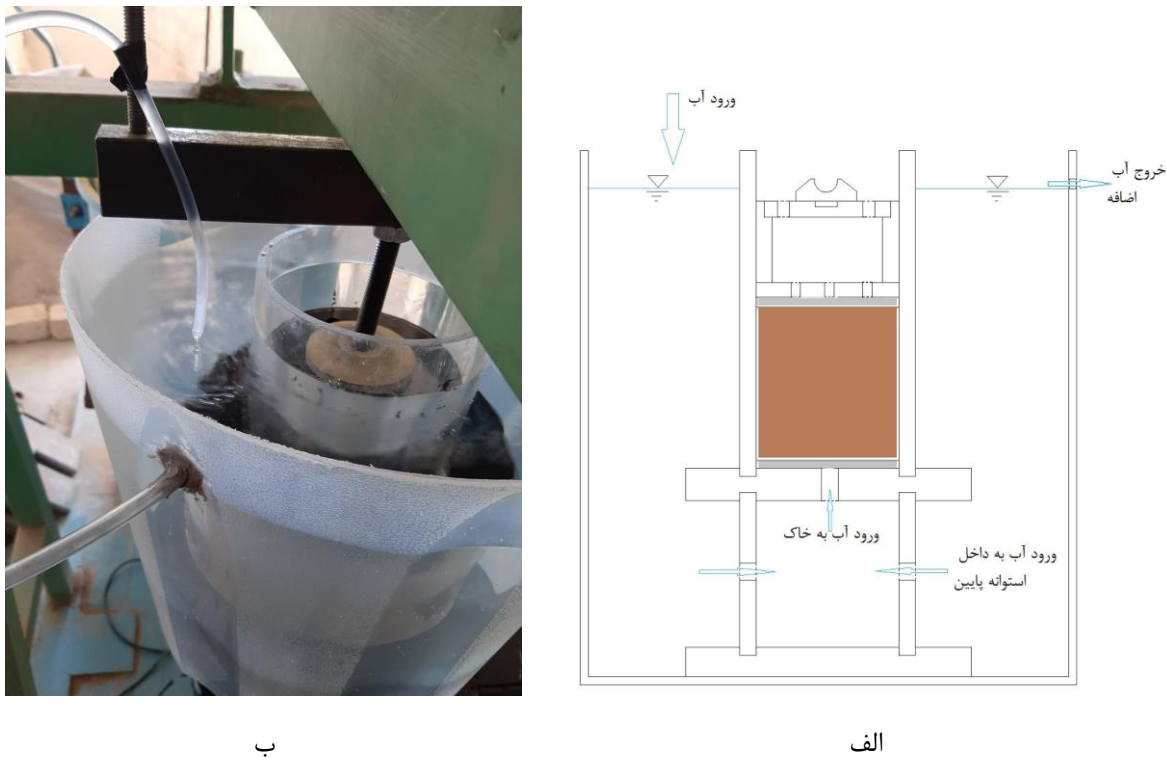
برای مدل‌سازی این نوع اشباع شدگی از روشنی متفاوت با روشن‌های حرکت آب از بالا به پایین استفاده شد. مطابق با شکل ۱۱ سلول بر روی یک استوانه فلزی قرار می‌گیرد این استوانه دارای چهار سوراخ بر روی دیوارهای خود است تا آب به راحتی وارد استوانه شود. سلول توسط یک صفحه دایره‌ای شکل که یک سوراخ در مرکز آن قرار دارد به این استوانه متصل می‌شود. برای انتقال آب به داخل خاک، استوانه و سلول روی آن داخل یک محفظه پلاستیکی رویاز قرار می‌گیرند. سطح آب داخل محفظه پس از پرشدن توسط یک شیر خروجی تا ارتفاع cm ۷ بالاتر از سطح خاک ثابت نگه داشته می‌شود. آب از چهار سوراخ اطراف استوانه پایین وارد استوانه می‌شود و توسط سوراخ قرار گرفته بر روی صفحه زیر نمونه و سلول، آب وارد نمونه می‌شود. سلول استفاده شده در این حالت ارتفاع بیشتری دارد تا آب از بالا وارد نمونه نشود.

##### ۴- اشباع از پایین به سمت بالا و به صورت گستردگی

این نوع نشت آب به داخل خاک مربوط به زمانی است که آب از پایین به صورت یک سطح گستردگی شروع به بالا آمدن کند. برای این نوع اشباع شدگی می‌توان به بالا آمدن سطح آب زیرزمینی اشاره نمود.

1 Hanna

2 Soliman



شکل ۱۱-الف. نحوه ورود آب به خاک در اشباع شدگی به روش از پایین به بالا و به صورت نقطه‌ای ب. ثابت نگه داشتن ارتفاع آب

**Fig. 11-a. How to enter water to soil in bottom-point water infiltration pattern b. Keeping the water level constant**



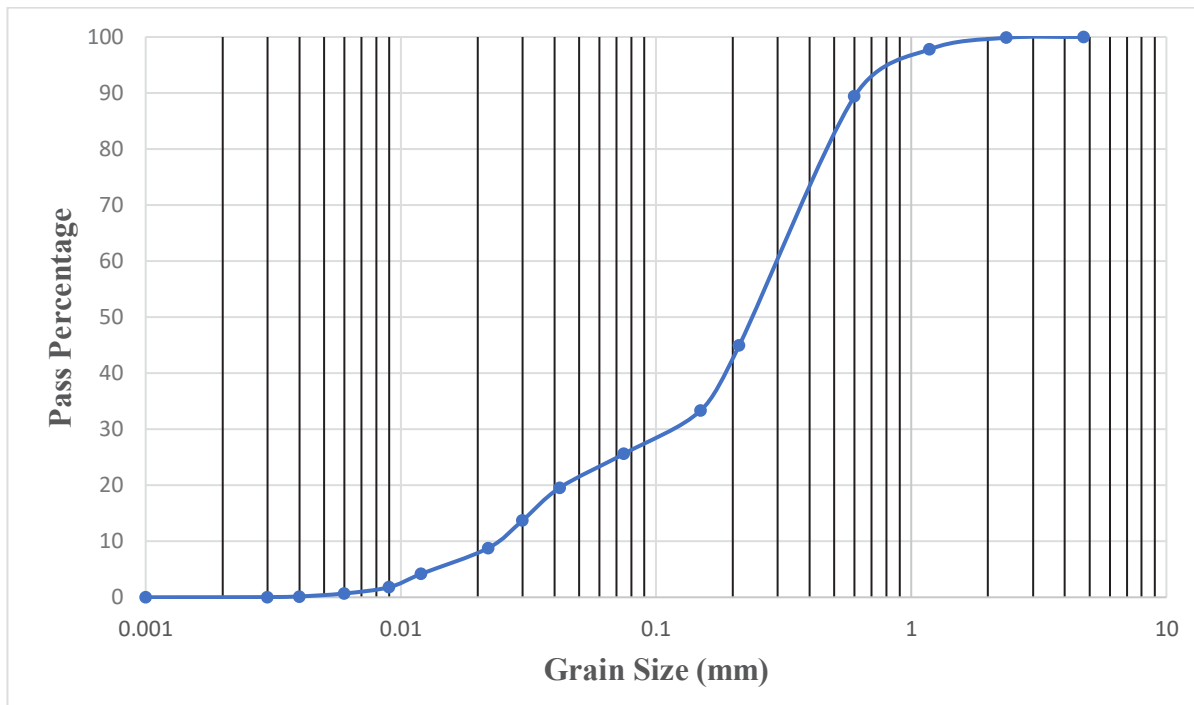
شکل ۱۲. صفحه استفاده شده برای ورود آب به صورت گستردگی در حرکت آب از پایین به بالا

**Fig. 12. The plate used to enter water expandingly in the movement of water from the bottom to the top**

## جدول ۲. مشخصات فیزیکی خاک مورد استفاده

Table 2. Physical property of soil used

ویژگی مقدار	نوع خاک SW-SC	$\gamma$ (kN/m <sup>3</sup> ) ۱۳	$\omega$ (%) ۵	$\gamma_{d,max}$ (kN/m <sup>3</sup> ) ۲۰/۹۹	$\omega_{opt}$ (%) ۸/۳	Gs ۲/۷۲	Cu ۱۵	Cc ۲/۴
----------------	------------------	-------------------------------------	-------------------	---	---------------------------	------------	----------	-----------



شکل ۱۳. منحنی دانه‌بندی مکانیکی و هیدرومتری خاک رمبنده استفاده شده

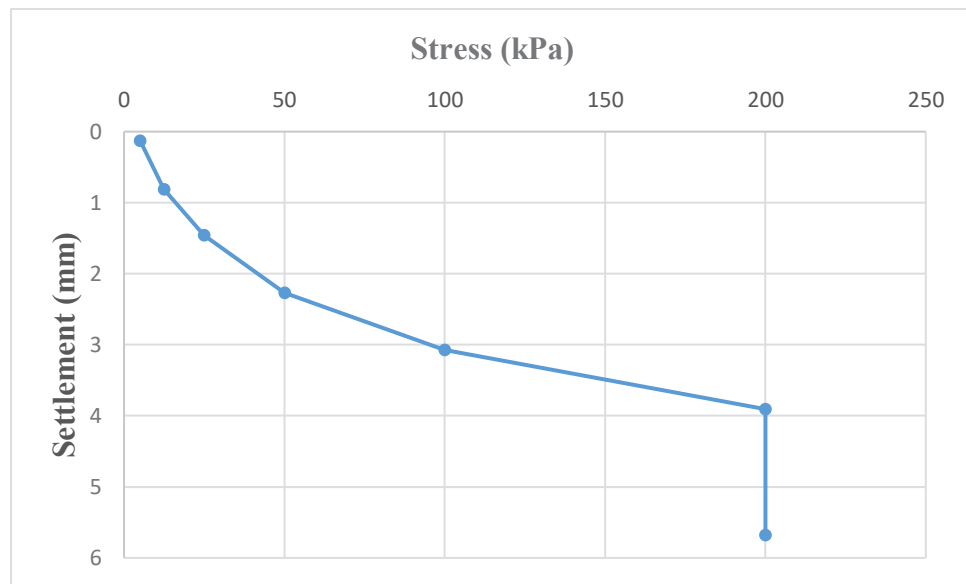
Fig.13. The mechanical and hydrometric gradation curve of collapsible soil is used

داخل دستگاه ادئومتر قرار گرفت و پس از رسیدن به تنش ۲۰۰ kPa اشباع گردید. در شکل ۱۴ نمودار جایه‌جایی در مقابل تنش مربوط به این آزمایش نشان داده شده است که بر اساس جایه‌جایی‌های ثبت شده قبل و بعد از اشباع شدن نمونه، پتانسیل رمبندگی این نمونه برابر با ۸/۸۷ است و بر اساس استاندارد ASTM این خاک در دسته خاک‌های با درجه رمبندگی تا حدی شدید قرار می‌گیرد.

برای بررسی عملکرد دستگاه ساخته شده ۴ آزمایش با روش‌های مختلف نشت آب در خاک انجام شد. در این آزمایش‌ها ابعاد نمونه متناسب با ابعاد سلول دستگاه ساخته شده نسبت به آزمایش ادئومتر افزایش پیدا کرد و سایر

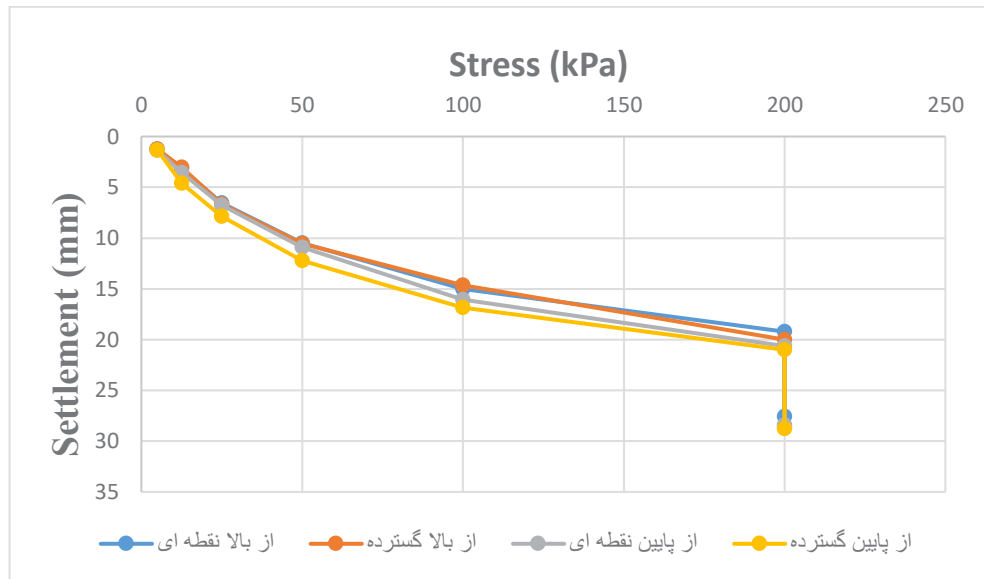
طبيعت ساخته می‌شوند و خاک‌های متراکم توسط انسان در خاکریزها مورد استفاده قرار می‌گيرند. يكى از انواع خاک‌هایی که در طبيعت ساخته می‌شوند خاک‌های بادرفتی هستند که در اين مطالعه از اين نوع خاک‌ها الگوبرداری شد و برای ساخت نمونه از روش بارشی استفاده شد و خاک ساخته شده از ارتفاع ۲۰ cm رها و داخل قالب ادئومتر ریخته شد.

در اين مطالعه با نسبت وزني رس به مasse ۳۰٪ و رطوبت ۵٪ نمونه‌اي توليد گردید که مشخصات آن در جدول ۲ آورده شده است. نمودار دانه‌بندی مکانیکی و هیدرومتری اين نمونه در شکل ۱۳ آورده شده است. برای اندازه‌گيری پتانسیل رمبندگی مطابق با استاندارد ASTM نمونه



شکل ۱۴. نتایج آزمایش ادئومتر نمونه خاک استفاده شده

Fig. 14. Oedometer test results of used soil sample

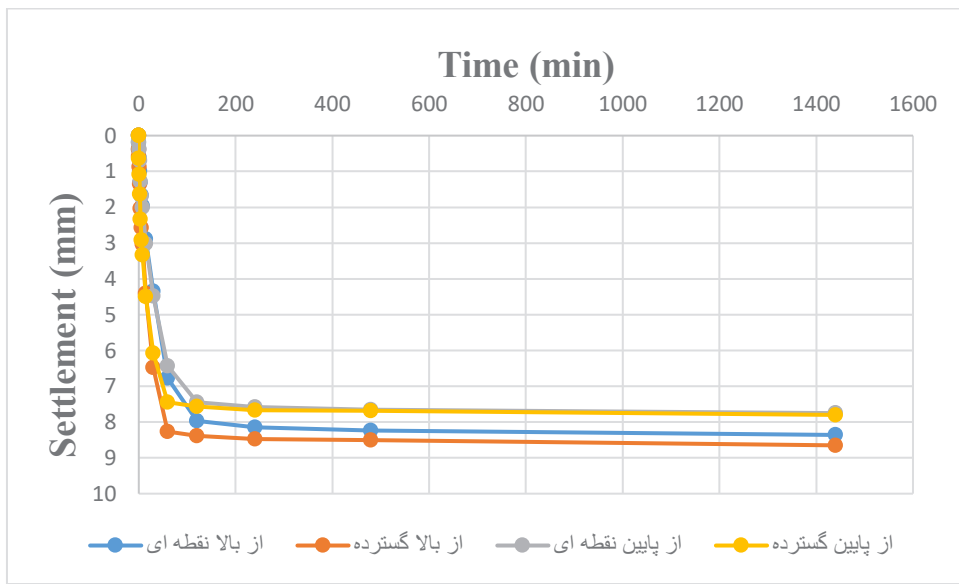


شکل ۱۵. نمودارهای تنش-نشست روشن های مختلف نشت آب

Fig. 15. Stress-settlement diagrams of different water infiltration patterns

از شروع ورود آب به خاک میزان نشست خاک در زمان های مختلف تا ۲۴ ساعت بعد ثبت گردید. شکل ۱۵ نمودارهای تنش-نشست روشن های مختلف نشت آب را نشان می دهد.

مشخصات بدون تغییر باقی ماند. در هر کدام از آزمایش ها نمونه ابتدا به صورت طبیعی تا فشار  $200 \text{ kPa}$  بارگذاری گردید و پس از گذشت زمان یک ساعت، آب متناسب با نوع نفوذ همان آزمایش وارد خاک گردید. پس



شکل ۱۶. نمودارهای نشست - زمان روش های مختلف نشت آب

Fig. 16. Settlement-time diagrams of different water infiltration patterns

روش های مختلف نشت آب با پتانسیل رمبندگی آزمایش ادئومتر محاسبه گردید که در شکل ۱۷ نشان داده شده است.

هدف از ساخت این دستگاه بررسی تاثیر نوع اشباع شدگی بر روی خاک های رمبند است. بر اساس نتایج بدست آمده برای خاک با مشخصات بالا در بین الگوهای مختلف نشت آب، بیشترین پتانسیل رمبندگی با مقدار ۸/۶۲ مریبوط به اشباع شدگی از بالا به پایین و به صورت گستردۀ است و کمترین آن مربوط به اشباع شدگی از پایین به بالا و به صورت نقطه ای با مقدار ۷/۸۰ است.

پتانسیل رمبندگی به بدست آمده از تمام آزمایش های با روش های مختلف نشت آب کمتر از پتانسیل رمبندگی آزمایش ادئومتر است. نتایج روش های اشباع شدگی از بالا به پایین اختلاف کمی با نتایج ادئومتر دارند اما این اختلاف برای روش های با اشباع شدگی از پایین به بالا بیشتر است و حدود ۱۳-۱۲٪ با پتانسیل رمبندگی آزمایش ادئومتر اختلاف دارد.

این نتایج نشان می دهد پتانسیل رمبندگی وابسته به جهت جریان آب است و برای الگوهای با نشت آب از پایین به بالا حدود ۱۰٪ کمتر از الگوهای با نشت آب از بالا به پایین است. در مقایسه نحوه توزیع نشت برای هر دو جهت حرکت، میزان پتانسیل رمبندگی برای روش های نقطه ای و گستردۀ مقادیر نزدیکی دارد و اختلاف نتایج ناچیز است.

یکی از کنترل هایی که در این آزمایش ها باید صورت گیرد، اشباع شدن کامل خاک قبل از زمان ۲۴ ساعت است. در آزمایش های با حرکت آب از بالا به پایین می توان با مشاهده خروج آب از صفحه کف نمونه و در آزمایش های با حرکت آب از پایین به بالا می توان با مشاهده جمع شدن آب روی سطح نمونه از اشباع شدن خاک اطمینان پیدا کرد. که در این ۴ آزمایش قبل از پایان زمان ۲۴ ساعت، اشباع کامل خاک مشاهده گردید.

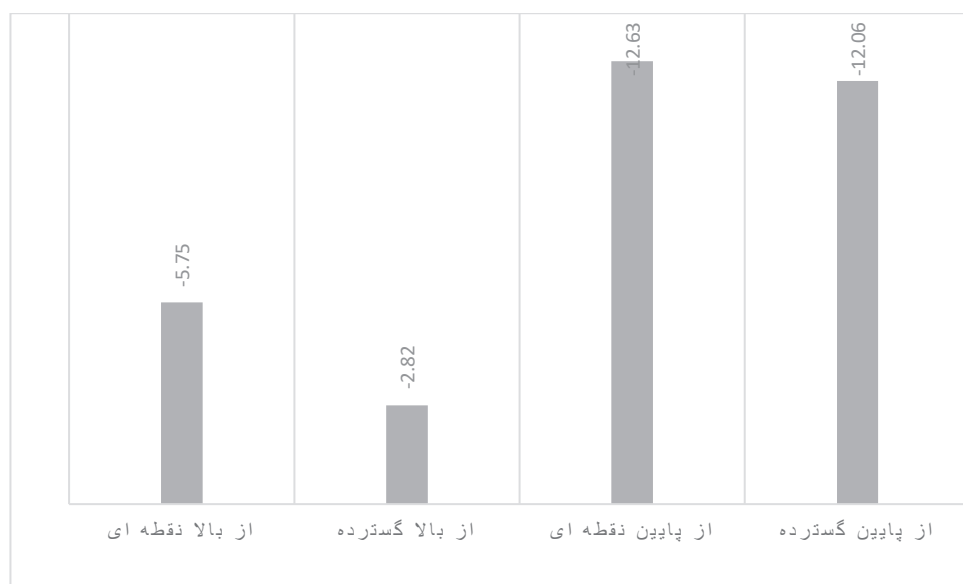
در این دستگاه میزان نشست در زمان های مختلف پس از شروع فرآیند اشباع کردن تا ۲۴ ساعت پس از آن ثبت می گردد. با این نتایج می توان سرعت نشست ها را بررسی نمود. در شکل ۱۶ نمودارهای نشست - زمان بعد از شروع فرآیند اشباع کردن برای روش های مختلف نشت آب در خاک ارائه گردیده است.

با استفاده از نشست قبل از شروع فرآیند اشباع شدن و نشست بعد از گذشت زمان ۲۴ می توان پتانسیل رمبندگی را برای هر آزمایش محاسبه نمود. که نتایج آزمایش های انجام شده در جدول ۳ ارائه گردیده است. از آنجا که پتانسیل رمبندگی به بدست آمده از آزمایش ادئومتر تک متداول ترین روش محاسبه پتانسیل رمبندگی است، نتایج این آزمایش برای مقایسه نتایج آزمایش های با قابلیت شبیه سازی نوع نشت آب به عنوان مبنای قرار گرفت و میزان درصد اختلاف پتانسیل رمبندگی به بدست آمده از آزمایش های با

### جدول ۳. محاسبه پتانسیل رمبندگی آزمایش‌های با قابلیت شبیه‌سازی نشت آب

**Table 3. Calculating the collapse potential of tests with the ability to simulate water infiltration**

روش اشباع شدن	نشست قبل از اشباع شدن (mm)	نشست بعد از اشباع شدن (mm)	ضخامت نمونه (mm)	پتانسیل رمبندگی
از بالا به صورت نقطه‌ای	۱۹/۲۰	۲۷/۵۶	۱۰۰	۸/۳۶
از بالا به صورت گسترده	۲۰/۰۲	۲۸/۶۴	۱۰۰	۸/۶۲
از پایین به صورت نقطه‌ای	۲۰/۶۵	۲۸/۴۰	۱۰۰	۷/۷۵
از پایین به صورت گسترده	۲۰/۹۹	۲۸/۷۹	۱۰۰	۷/۸۰



شکل ۱۷. درصد اختلاف پتانسیل رمبندگی روش‌های مختلف نشت آب با آزمایش ادئومتر

**Fig.17. The percentage of difference in collapse potential of different water infiltration patterns with oedometer test**

ذکر این نکته قابل اهمیت است که نتایج به دست آمده برای نمونه خاک استفاده شده با مشخصات ذکر شده است و از آنجا که میزان پتانسیل رمبندگی وابسته به عوامل مختلف است، این نتایج قابل تعمیم به تمام خاک‌های رمبنده نیست. هدف اصلی ساخت این دستگاه همین است که بتوان برای هر خاک رمبنده با هر شرایطی میزان پتانسیل رمبندگی را پیش‌بینی نمود.

این مطالعه نشان می‌دهد که نوع نشت آب در خاک رمبنده می‌تواند بر روی پتانسیل رمبندگی تاثیر بگذارد و نتایج به دست آمده از دستگاه‌های بدون قابلیت مدل‌سازی الگو نشت آب برای تعیین پتانسیل رمبندگی همراه با خطای است، بنابراین برای پیش‌بینی دقیق‌تر پتانسیل رمبندگی خاک محل یک پژوهش، پیشنهاد می‌شود ابتدا بررسی گردد که در محل پژوهش، محتمل‌ترین نوع الگو نشت آب در خاک چیست و بر اساس آن نمونه انتقال یافته به آزمایشگاه با همان الگو نشت آب مدل‌سازی گردد.

## ۶- نتیجه‌گیری

## ۷- فهرست علائم

علائم انگلیسی	
پتانسیل رمبندگی	$CP$
تغییرات نسبت تخلخل	$\Delta e$
نسبت تخلخل اولیه	$e_0$
تغییرات ارتفاع، mm	$\Delta h$
ارتفاع اولیه، mm	$h_0$
پتانسیل رمبندگی	$I_c$
قرائت گیج بعد از خیس شدن، mm	$d_f$
قرائت گیج قبل از خیس شدن، mm	$d_i$
شاخص رمبندگی	$I_e$
تعداد ضربات آزمایش نفوذ استاندارد	$N$
آزمایش نفوذ استاندارد	$SPT$
آزمایش نفوذ مخروط	$CPT$
درصد رطوبت	$\omega$
وزن مخصوص، $kN/m^3$	$\gamma$
وزن مخصوص خشک حداکثر، $kN/m^3$	$\gamma_{d,max}$
درصد رطوبت بهینه	$\omega_{opt}$
چگالی ویژه	$G_s$
ضریب یکنواختی	$C_u$
ضریب دانه‌بندی	$C_c$
شرایط مرجع	*

## منابع

- [1] J.K. Mitchell, K. Soga, Fundamentals of soil behavior, John Wiley & Sons New York, 2005.
- [2] V. Murthy, Geotechnical engineering: principles and practices of soil mechanics and foundation engineering, CRC press, 2002.
- [3] K.E. Gaaver, Geotechnical properties of Egyptian collapsible soils, Alexandria Engineering Journal, 51(3) (2012) 205-210.
- [4] C. Rogers, T. Dijkstra, I. Smalley, Hydroconsolidation and subsidence of loess: studies from China, Russia, North America and Europe: in memory of Jan Sajgalik, Engineering Geology, 37(2) (1994) 83-113.
- [5] M. Noutash, B. Hajialilue, M. Cheshmdoost, Prepouring of canals as a remediation method for collapsible soils, in: Proceedings of the 4th international conference on

یک دستگاه آزمایشگاهی طراحی و ساخته شد که قابلیت شبیه‌سازی انواع الگو نشت آب در خاک را دارد. این دستگاه نحوه نشت آب را بر اساس جهت حرکت آب (از بالا به پایین یا از پایین به بالا) و توزیع نشت ( نقطه‌ای یا گسترده) به چهار دسته کلی تقسیم‌بندی و شبیه‌سازی می‌کند. از یک نمونه خاک رمبنده ساخته شده در آزمایشگاه استفاده گردید و پتانسیل رمبندگی به دست آمده از چهار الگو نشت آب و آزمایش ادئومتر متداول مورد مقایسه قرار گرفت. نتایج به دست آمده از این مطالعه در ادامه آورده شده است:

آب می‌تواند از طریق منابع مختلفی همچون بارندگی، سیلاب، آبیاری درختان، نشت و شکست لوله‌های انتقال آب، بالا آمدن سطح آب زیر زمینی، نشت فاضلاب و ...وارد خاک رمبنده شود که نوع نشت آب می‌تواند بر روی نشتست خاک رمبنده تاثیر بگذارد.

از آنجا که آزمایش‌های موجود برای پیش‌بینی پتانسیل رمبندگی، قابلیت مدل‌سازی نوع نشت آب را ندارند، نتایج آن‌ها می‌توانند همراه با خطأ باشد. برای خاک رمبنده نمونه، مقدار پتانسیل رمبندگی به دست آمده از آزمایش ادئومتر متداول با غرقاب کردن، بیشتر از مقادیر پتانسیل رمبندگی به دست آمده از آزمایش‌های با مدل‌سازی نوع نشت آب است. در روش‌های نشت آب از بالا به پایین اختلاف ناچیز است ولی در روش‌های نشت آب از پایین به بالا نتایج به دست آمده حدود ۱۳٪ کمتر از آزمایش ادئومتر است. برای خاک رمبنده نمونه، بیشترین پتانسیل رمبندگی مربوط به زمانی است که آب از بالا و به صورت گسترده وارد خاک رمبنده شود و کمترین آن مربوط به نشت آب از پایین و به صورت نقطه‌ای است.

نتایج برای خاک رمبنده نمونه نشان می‌دهد که پتانسیل رمبندگی برای نشت آب از بالا به پایین بیشتر از نشت آب از پایین به بالا است و پتانسیل رمبندگی برای دو روش نقطه‌ای و گسترده نزدیک به هم است و اختلاف ناچیزی دارند.

شرایط هر خاک رمبنده می‌تواند بر روی پتانسیل رمبندگی آن تاثیر بگذارد، بنابراین برای پیش‌بینی دقیق‌تر پتانسیل رمبندگی باید تاثیر روش‌های نشت آب برای هر خاک به صورت جداگانه بررسی گردد.

25-40.

- [17] H.A. Alawaji, Leak Induced Settlement of Buried Pipelines in Collapsible Soil, in: Pipelines 2008: Pipeline Asset Management: Maximizing Performance of our Pipeline Infrastructure, 2008, pp. 1-10.
- [18] R. Vandanapu, J.R. Omer, M.F. Attom, Laboratory simulation of irrigation-induced settlement of collapsible desert soils under constant surcharge, Geotechnical and Geological Engineering, 35(6) (2017) 2827-2840.
- [19] M.A.-R. I.M Mashhour, A.M. Hanna, Effect of Rate of Inundation on Drag Load Acting on Single End-bearing Piles in Collapsible Soils, 10th Alexandria International Conference on Structural, Geotechnical Engineering and Management, (2019).
- [20] J. Jennings, A Guide To Construction On Or With Materials Exhibiting Additonal Settlement Due To Collapse" Of Grain Structure, (1975).
- [21] E.C. Lawton, R.J. Fragaszy, J.H. Hardcastle, Collapse of compacted clayey sand, Journal of Geotechnical Engineering, 115(9) (1989) 1252-1267.
- [22] K.M. Rollins, R.L. Rollins, T.D. Smith, G.H. Beckwith, Identification and characterization of collapsible gravels, Journal of geotechnical engineering, 120(3) (1994) 528-542.
- [23] T. Ayadat, A. Hanna, Identification of collapsible soil using the fall cone apparatus, Geotechnical Testing Journal, 30(4) (2007) 312-323.
- [24] A. D5333, Standard Test Methods for Measurement of Collapse Potential of Soils, in: ASTM D5333, Annual Book of ASTM Standards, 2003.
- [25] H.H. Mahmoud, W.N. Houston, S.L. Houston, Apparatus and procedure for an in situ collapse test, Geotechnical Testing Journal, 18(4) (1995) 431-440.
- [26] A. Hanna, S. Soliman, Experimental investigation of foundation on collapsible soils, Journal of Geotechnical and Geoenvironmental Engineering, 143(11) (2017) 04017085.
- geotechnical engineering and soil mechanics, Tehran, Iran, 2010.
- [6] J. Yuan, Analysis of the influences for collapsibility of loess soils in China, West-China Exploration Engineering, 10 (2009) 31-34.
- [7] E.C. Lawton, Wetting-induced collapse in compacted soil, Washington State University, 1986.
- [8] E.C. Lawton, R.J. Fragaszy, M.D. Hetherington, Review of wetting-induced collapse in compacted soil, Journal of geotechnical engineering, 118(9) (1992) 1376-1394.
- [9] L. Steadman, Collapse settlement in compacted soils of variable fines content, Washington State University, 1987.
- [10] A.A. Basma, E.R. Tuncer, Evaluation and control of collapsible soils, Journal of Geotechnical Engineering, 118(10) (1992) 1491-1504.
- [11] S. Houston, W. Houston, C. Lawrence, Collapsible soil engineering in highway infrastructure development, Journal of Transportation Engineering, 128(3) (2002) 295-300.
- [12] D. Kim, Y. Chung, N.Z. Siddiki, Y. Shin, J.R. Kim, Mechanical Characteristics of Indiana Loess Soils for Highway Embankments, 2008.
- [13] A. El Howayek, P.-T. Huang, R. Bisnett, M.C. Santagata, Identification and behavior of collapsible soils, Purdue University. Joint Transportation Research Program, 2011.
- [14] P. Li, S. Vanapalli, T. Li, Review of collapse triggering mechanism of collapsible soils due to wetting, Journal of Rock Mechanics and Geotechnical Engineering, 8(2) (2016) 256-274.
- [15] T. Ayadat, Geotechnical Performance of Encapsulated and Stabilized Stone Columns in a Collapsible Soil, International Journal of Geomechanics, 22(6) (2022) 04022057.
- [16] S.M. Haeri, Hydro-mechanical behavior of collapsible soils in unsaturated soil mechanics context, Japanese Geotechnical Society Special Publication, 2(1) (2016)

چگونه به این مقاله ارجاع دهیم

J. Mahmoudi, R. Pourhosseini , Large-scale Apparatus for Measurement of Collapse Potential of Soils with Simulating the Pattern of Water Infiltration Ability, Amirkabir J. Civil Eng., 54(12) (2023) 4809-4826.

DOI: [10.22060/ceej.2022.21524.7755](https://doi.org/10.22060/ceej.2022.21524.7755)

